

ΟΡΥΚΤΟΛΟΓΙΑ.— Κρυσταλλοχημεία και χημική σύνθεσις τῶν χρωμιτῶν "Οθρυος, ὑπὸ Ἀθαν. Γ. Πανάγου*". Ανεκοινώθη ὑπὸ τοῦ Ἀκαδημαϊκοῦ κ. Μ. Κ. Μητσοπούλου.

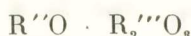
ΕΙΣΑΓΩΓΗ

Ἐπὶ τοῦ χημισμοῦ τῶν ἑλληνικῶν χρωμιτῶν ἐλάχιστα μέχρι τοῦδε ἔχουν γραφῆ, μόλις δὲ ἐσχάτως παρατηρεῖται ποιά τις δραστηριότης πρὸς τὴν κατεύθυνσιν ταύτην (5, 7). Εἰς τὰς πλείστας τῶν περιπτώσεων οἱ ἐρευνηταὶ περιωρίσθησαν εἰς τὴν δημοσίευσιν χημικῶν ἀναλύσεων χρωμιτῶν ἀνε περαιτέρω ἐπεκτάσεως εἰς τὴν ἐπεξεργασίαν τοῦ χημισμοῦ των και εἰς τὴν διατύπωσιν συγκεκριμένων ἐπ' αὐτοῦ συμπερασμάτων.

Ἐπειδὴ οἱ χρωμῖται τῆς "Οθρυος συγκροτοῦν ἰδιάζουσαν ὁμάδα (Πανάγος, 1965, σελ. 22 - 26 και Εἰκ. 1, 2 και 3), ἀποτελοῦν ἐνταῦθα ἀντικείμενον ἰδιαιτέρας ἐργασίας.

Ἐπὶ τῆς ὀρυκτολογίας τοῦ χρωμίτου ἔχουν λεχθῆ οὐκ ὀλίγα και ἔχουν προταθῆ πλεῖσται ὅσαι ταξινομήσεις (Simpson - 1920, Fisher - 1929, Winchell - 1944). Συμφώνως πρὸς τὰς ἀντιλήψεις τοῦ Palache (1944), αἱ ὄποιαι εἰναι και αἱ σήμερον ἴσχουσσαι, οἱ χρωμῖται περιλαμβάνουν μέλν τῆς ὁμάδος τῶν σπινελίων μὲ χρώμιον ὡς κυριαρχοῦν τρισθενὲς κατίον. Τὸ κυριαρχοῦν δισθενὲς κατίὸν εἰναι κυρίως ὁ σίδηρος και τὸ μαγνήσιον.

Παρατηροῦντες τὰς χημικὰς ἀναλύσεις χρωμιτῶν τῆς "Οθρυος συνάγομεν σαφῶς ὅτι εἰς τὰς ἐνώσεις ταύτας τοῦ γενικοῦ τύπου



τὸ R'' εἰναι κυρίως Fe^{2+} , Mg^{2+} και Mn^{2+} και τὸ R''' κυρίως Cr^{3+} , Al^{3+} και Fe^{3+} .

ΧΗΜΙΣΜΟΣ

Διὰ τὴν διερεύνησιν τοῦ χημισμοῦ τῶν χρωμιτῶν "Οθρυος ὑπῆρχον εἰς τὴν διάθεσιν ἡμῶν 16 πλήρεις χημικαὶ ἀναλύσεις. Αἱ ἀναλύσεις αὗται περιλαμβάνονται εἰς τὸν Πίνακα 1.

* ATHAN. G. PANAGOS: Zur Kristallchemie und chemischen Zusammensetzung der Chromite von Othrys.

PINACE 1

Χημικαὶ ἀναλύσεις χρωματῶν τῆς περιοχῆς "Οθρυος.

AUG.

Al_2O_3 Fe_2O_3 FeO MgO SiO_2 NiO CaO MnO

ΦΥΛΑΚΩΝ

୮୯୮

1.	40.03	21.94	0.6	12.0	18.18	5.3	—	0.10	0.28	(3)
2.	35.32	21.20	0.46	12.52	18.10	7.96	—	1.90	0.20	(10)
3.	43.0	25.0	3.3	10.3	16.3	1.6	0.23	0.1	0.1	Prof. Dr. M. Weibel, Zürich.
4.	41.2	25.0	5.3	9.2	16.9	1.7	0.25	0.1	0.1	
5.	45.5	22.8	4.0	10.7	16.2	0.5	0.19	0.1	0.1	"
6.	38.9	24.8	7.8	8.5	17.8	1.4	0.23	0.1	0.1	"
7.	39.0	25.1	7.1	9.5	16.8	2.0	0.23	0.1	0.1	"
8.	39.5	24.7	6.8	8.6	17.1	2.5	0.24	0.1	0.1	"
9.	39.5	23.5	7.5	9.4	16.6	2.5	0.32	0.1	0.1	"
10.	39.7	25.1	6.2	10.7	16.0	1.5	0.25	0.1	0.1	"
11.	38.95	22.56	0.82	15.31	16.80	3.94	—	0.20	0.78	Wallace and Clark, Glaskow
12.	39.10	24.90	0.70	14.31	17.74	1.20	—	0.70	0.84	
13.	39.15	22.80	0.90	14.81	17.54	3.60	—	0.10	0.80	"
14.	40.10	21.03	0.63	13.26	16.79	5.44	—	0.10	0.08	"
15.	41.35	21.32	0.91	12.68	16.42	4.82	—	0.10	0.24	"
16.	42.10	20.80	0.90	14.81	15.10	3.60	—	0.70	0.80	"

Έκ της βιβλιογραφίας είναι γνωστά και στοιχεῖα άπαντωντα ως ίχνη έντος τῶν χρωμιτῶν τῆς "Οθρυος. Εἰς φασματοσκοπικήν ἀνάλυσιν χρωμίτου τῆς ως ἄνω περιοχῆς (4), ἐκτελεσθεῖσαν ὑπὸ τοῦ E.M. El Shazly εἰς τὴν Royal School of Mines τοῦ Λονδίνου, δίδονται ως μείζονα ίχνη (οὐσιωδῶς κάτω τοῦ 1%) Mn, Ni, Ce, U, Sn και ως ἐλάσσονα ίχνη (οὐσιωδῶς κάτω τοῦ 0.1%) Ti, Cu, Mo, As, In.

Νέα φασματοσκοπική άνάλυσις δειγμάτων χρωμίτου της Οθρυος (Πίν.2) άποδεικνύει άξιόλογον παρουσίαν V, Cu, Co, Zn.

PINACE 2

Φασματοσκοπική άγάλυσις δειγμάτων χρωμάτου "Οθρυος.

⁹Αναλυτής : Prof. Dr. M. Weibel, Zürich.

- Έκ τῶν ὡς ἀναλυθέντων δειγμάτων (Πίν. 1, 2) παρατηροῦμεν τὰ κάτωθι:
- 1) Τὰ κύρια συστατικὰ δέξειδια, τὰ μετέχοντα εἰς τὴν σύνθεσιν τοῦ χρωμιτικοῦ μορίου, εἶναι τὰ Cr_2O_3 , Al_2O_3 , Fe_2O_3 καὶ FeO , MgO .
 - 2) Τὸ MnO μετέχει ἐπίσης, εἰς μικρὰν ἀναλογίαν προφανῶς, ὡς MnAl_2O_4 (γαλαξίτης).
 - 3) Τὸ Ni ἢ ὑποκαθιστᾶ τὸ μαγνήσιον εἰς τὸν σερπεντίνην ἢ ἀποτελεῖ συστατικὸν τῶν συμπαρομαρτούντων ἐντὸς τῶν χρωμιτῶν νικελιούχων σουλφιδίων, ὃν ἢ παρουσίᾳ διεπιστρώθη μικροσκοπικῶς (7). Εἰς τὴν παρουσίαν τῶν σουλφιδίων πρέπει νὰ ἀποδοθῇ τούλαχιστον ἐν μέρει καὶ ἡ παρουσία τῶν Cu , Mo , As . Τὸ Ti εἶναι ἐνσωματωμένον εἰς τὸν ἥλιμενίτην.
 - 4) Τὸ CaO πρέπει νὰ ἀποδοθῇ κυρίως εἰς τὸ συμπαρομαρτοῦν ἀνθρακικὸν ἀσβέστιον, ἀν καὶ ἐσχάτως ἔρευνηταί τινες ὑπαινίσσονται τὴν παρουσίαν τοῦ ἀσβεστίου ἐντὸς τοῦ πλέγματος τῶν σπινελίων.

Τὸ MgO , ὡς ἐδόθη εἰς τὰ ἀναλυθέντα δείγματα χρωμίτου, δὲν μετέχει καθ' ὅλοκληρίαν εἰς τὸ πλέγμα τούτου, καθ' ὅσον, ὡς γνωστόν, σημαντικὸν μέρος αὐτοῦ ἀποτελεῖ συστατικὸν τοῦ συμπαρομαρτούντος σερπεντίνου. Ἀπεβλήθη τὸ τοιοῦτον μαγνήσιον βάσει τοῦ τύπου $2\text{SiO}_2 \cdot 3\text{MgO} \cdot 2\text{H}_2\text{O}$. Ο Πίναξ 3 περιλαμβάνει τὸ τελικὸν MgO τὸ ἐνσωματωμένον ἐντὸς τοῦ χρωμιτικοῦ πλέγματος.

Π Ι Ν Α Ξ 3

Τελικὸν MgO ἐνσωματωμένον ἐντὸς τοῦ πλέγματος τῶν χρωμιτῶν.

Αρξ. ἀριθ. ἀναλύσεως	Τελικὸν MgO	Αρξ. ἀριθ. ἀναλύσεως	Τελικὸν MgO
1.	12.85	9.	14.08
2.	10.09	10.	14.44
3.	14.68	11.	12.88
4.	15.16	12.	16.54
5.	15.70	13.	13.93
6.	16.39	14.	11.33
7.	14.79	15.	11.58
8.	14.55	16.	11.49

Ἐπὶ τῇ βάσει τῶν Πινάκων 1, 2 καὶ 3 ἐλογίσθησαν ἐν συνεχείᾳ τὰ μεγέθη: $\text{R''O}/\text{R}_2''\text{O}_3$, Cr , Fe , Cr/Fe περὶ τῶν ὁποίων καὶ διαλαμβάνομεν εἰς τὸν Πίνακα 4.

Ἐν συνεχείᾳ καὶ συμφώνως πρὸς ἐφαρμοσθεῖσαν ἥδη ὑπὸ τοῦ Thayer μέθοδον ἀποδόσεως τοῦ χημισμοῦ σπινελίων, ἐκφράζεται ἡ σύνθεσις τῶν χρωμιτῶν τῆς "Οθρυος ὡς ἀλγός μοριακῶν ἀναλογιῶν τῶν συστατικῶν τῶν R''O καὶ $\text{R}_2''\text{O}_3$ " (in terms of molecular ratio of R''O and $\text{R}_2''\text{O}_3$ constituents), ὡς τοῦτο ἐμφαίνεται εἰς τὸν Πίνακα 5.

ΠΙΝΑΞ 4

Τὰ ἐπὶ τῇ βάσει τῶν πινάκων 1, 2 καὶ 3 λογισθέντα μεγέθη $R''O/R_2'''O_3$, Cr, Fe, Cr/Fe.

Αριθ. ἀναλύσεως	$RO''/R_2'''O_3$	Cr	Fe	Cr/Fe
1.	1.015	27.39	7.60	3.60
2.	0.986	24.17	10.05	2.40
3.	0.958	29.42	10.30	2.85
4.	0.918	28.19	10.85	2.60
5.	0.985	31.13	11.12	2.80
6.	0.960	26.61	12.07	2.20
7.	1.130	26.68	12.35	2.16
8.	0.885	27.03	11.43	2.36
9.	0.896	27.03	12.55	2.15
10.	0.931	27.18	12.66	2.15
11.	1.123	26.65	12.47	2.14
12.	1.228	26.75	11.61	2.30
13.	1.156	26.79	12.14	2.21
14.	0.984	27.44	10.75	2.55
15.	0.957	28.29	10.49	2.69
16.	1.032	28.81	12.14	2.37

ΠΙΝΑΞ 5

Μοριακαὶ ἀναλογίαι ἐπὶ τοῖς % τῶν συστατικῶν τῶν $R''O$ καὶ $R_2'''O_3$ τῶν χρωμιτῶν "Οθρυος.

Αριθ. ἀναλύσεως	$R''O$	FeO	MgO	MnO	R_2O_3	Cr_2O_3	Al_2O_3	Fe_2O_3
1.	.4896	34.11	65.09	0.80	.4822	54.60	44.63	0.77
2.	.4372	39.84	59.51	0.65	.4431	52.43	46.92	0.65
3.	.5089	28.18	71.55	0.27	.5311	53.25	46.36	0.39
4.	.5054	25.35	74.38	0.27	.5504	49.23	44.73	6.04
5.	.5397	27.58	72.15	0.27	.5479	54.63	40.81	4.56
6.	.5261	22.49	77.24	0.27	.5480	46.70	44.40	8.90
7.	.5004	26.43	73.30	0.27	.4426	34.34	55.63	10.03
8.	.4819	24.85	74.87	0.27	.5447	47.69	44.49	7.82
9.	.4814	27.18	27.55	0.27	.5372	48.36	42.91	8.73
10.	.5084	29.29	70.44	0.27	.5461	47.81	45.09	7.10
11.	.5434	39.22	58.78	2.00	.4826	53.09	45.86	1.05
12.	.6211	32.06	66.04	1.90	.5058	50.85	48.28	0.87
13.	.5628	36.62	61.38	2.00	.4867	52.91	45.94	1.15
14.	.4667	39.55	60.22	0.23	.4740	55.65	43.52	0.83
15.	.4670	37.79	61.50	0.71	.4881	55.99	42.84	1.17
16.	.5024	41.02	56.73	2.25	.4865	56.92	41.93	1.15

*Ἐκ τοῦ πίνακος 5 καθίσταται σαφὲς ὅτι:

1) Εἰς τὸ $R''O$:

- α) κυριαρχοῦν συστατικὸν εἶναι τὸ MgO, τοῦ FeO διατηροῦντος ἐπίσης ὑψηλὰς τιμάς.
- β) τὸ MnO συμμετέχει μὲν μικρὰν ἀναλογίαν.
- γ) ἡ μέση ἀναλογία εἰς mol ἐπὶ τοῖς % τῶν FeO: MgO: MnO εἶναι 32: 67.2: 0.8.

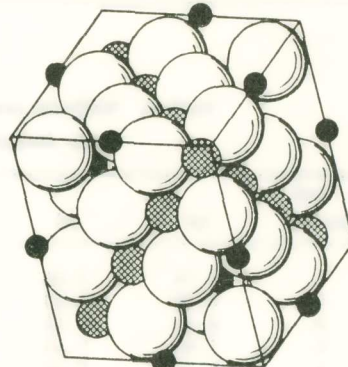
2) Εἰς τὸ $R_2'''O_3$:

- α) κυριαρχοῦν συστατικὸν εἶναι τὸ Cr_2O_3 , τοῦ Al_2O_3 διατηροῦντος ἐπίσης λίαν ὑψηλὰς τιμάς.
- β) τὸ Fe_2O_3 συμμετέχει μὲν μεταβλητὴν ἀναλογίαν.
- γ) ἡ μέση ἀναλογία εἰς mol ἐπὶ τοῖς % τῶν Cr_2O_3 : Al_2O_3 : Fe_2O_3 εἶναι 50.9: 45.3: 3.8.

ΠΕΡΙΕΧΟΜΕΝΟΝ ΤΗΣ ΚΥΨΕΛΙΔΟΣ

Κατὰ τὸν Bragg (1) εἰς τὴν συγκρότησιν τῆς στοιχειώδους κυψελίδος τῶν σπινελίων μετέχουν 32 ίόντα δξυγόνου καὶ 24 κατιόντα, ἐκ τῶν ὅποιων 8 ἔχουν τετραεδρικὴν καὶ 16 ὀκταεδρικὴν σύνταξιν (Εἰκ. 1).

Εἰκ. 1.— Δομὴ σπινελίου



Γενικῶς, τὸ περιεχόμενον τῆς κυψελίδος εἶναι 8 $\text{R}'\text{O}$. $\text{R}_{2}''\text{O}_3$.

Λαμβανομένων ὑπὸ δψιν τῶν ἀνωτέρω καὶ ἐπὶ τῇ βάσει τῶν ἀναλύσεων τοῦ Πίνακος 1 ὑπελογίσθη ὁ ἀριθμὸς κατιόντων ὁ ἐκπροσωπούμενος ἐντὸς τῆς κυψελίδος τῶν ἀναλυθέντων χρωμιτῶν καθ' ὃν τρόπον ἐμφαίνεται τοῦτο εἰς τὸν Πίνακα 7. Οἱ ὑπολογισμὸι οὕτοις ἐγένετο ὡς κάτωθι:

Αἱ ἐπὶ τοῖς % ἀναλογίαι τῶν δξειδίων διαιροῦνται διὰ τοῦ μοριακοῦ βάρους των (μοριακαὶ ἀναλογίαι - molecular ratios). Υπολογίζονται ἐν συνεχείᾳ τὰ $\text{R}'\text{O}$ καὶ $\text{R}_{2}''\text{O}_3$. Αἱ μοριακαὶ ἀναλογίαι λογίζονται κατόπιν εἰς «ἄτομα κατὰ κυψελίδα» διὰ συναθροίσεως 8 δισθενῶν καὶ 16 τρισθενῶν κατιόντων δι' ἐκάστην κυψελίδα. Οἱ ὑπολογισμὸι οὕτοις γίνεται συμφώνως πρὸς τὸ ὑπόδειγμα τοῦ Πίνακος 6.

Αἱ τιμαὶ αὗται τοῦ Πίνακος 7 προεβλήθησαν:

α) εἰς τριγωνικὸν πρᾶσμα συνθέσεως τῶν σπινελίων (triangular prism of composition) ἐπινοηθὲν καὶ περιγραφὲν ὑπὸ τοῦ Stevens(9) (Εἰκ. 2).

Π Ι Ν Α Ε 6

'Υπόδειγμα ύπολογισμοῦ τῶν «ἀτόμων κατὰ κυψελίδα».

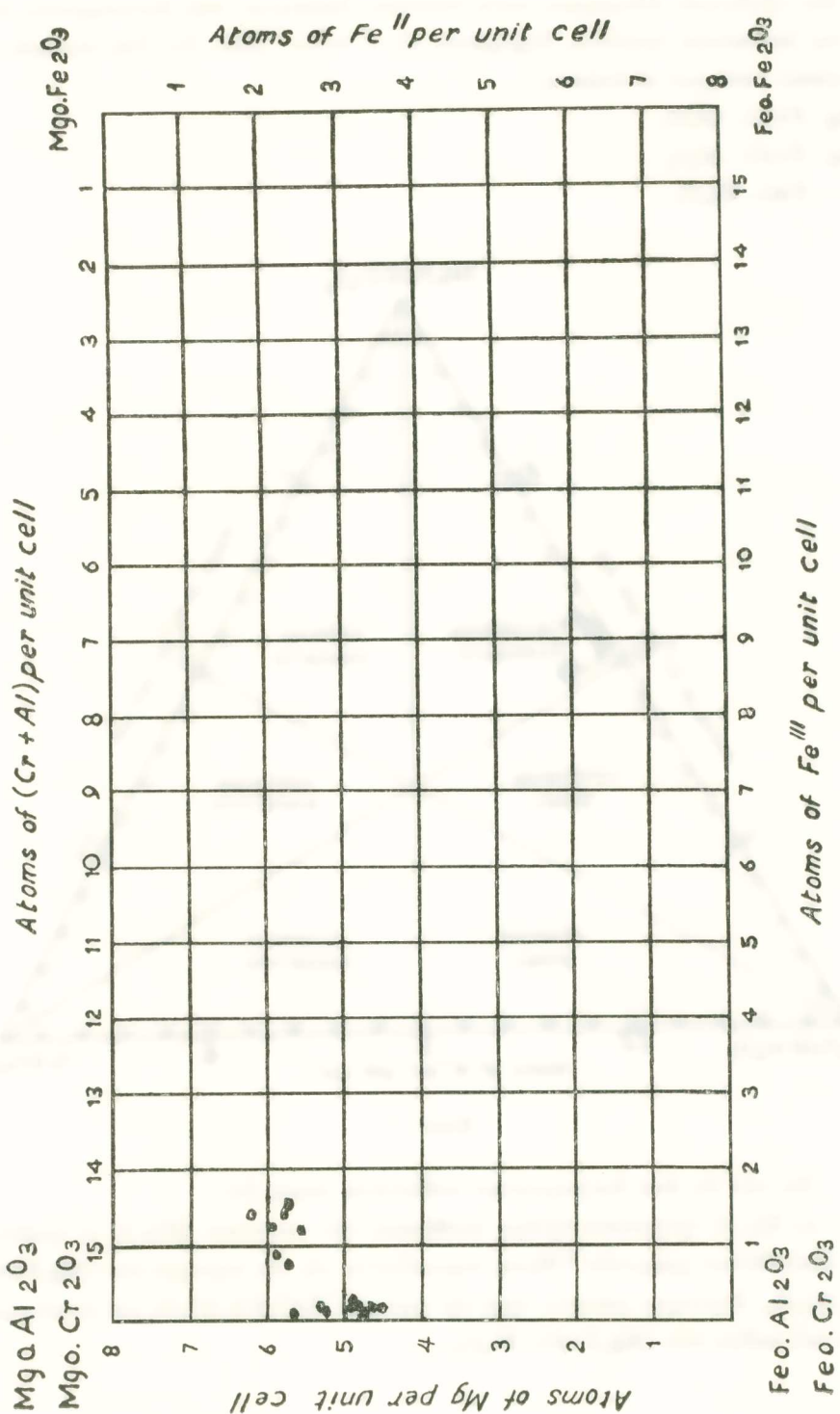
Κύρια δέξια ἀναλύσεως	'Αναλογία έπι τοῖς %	Μοριακὸν βάρος	Μοριακὴ ¹ ἀναλογία	"Ατομα κατὰ κυψελίδα	
Cr ₂ O ₃	40.03	152.02	.2633	Cr =	8.74
Al ₂ O ₃	21.94	101.94	.2152	Al =	7.14
Fe ₂ O ₃	0.60	159.68	.0037	Fe =	0.12
			.4822		16.00
FeO	12.00	71.84	.1670	Fe =	2.73
MgO	12.85	40.32	.3187	Mg =	5.21
MnO	0.28	70.93	.0039	Mn =	0.06
			.4896		8.00

Π Ι Ν Α Ε 7

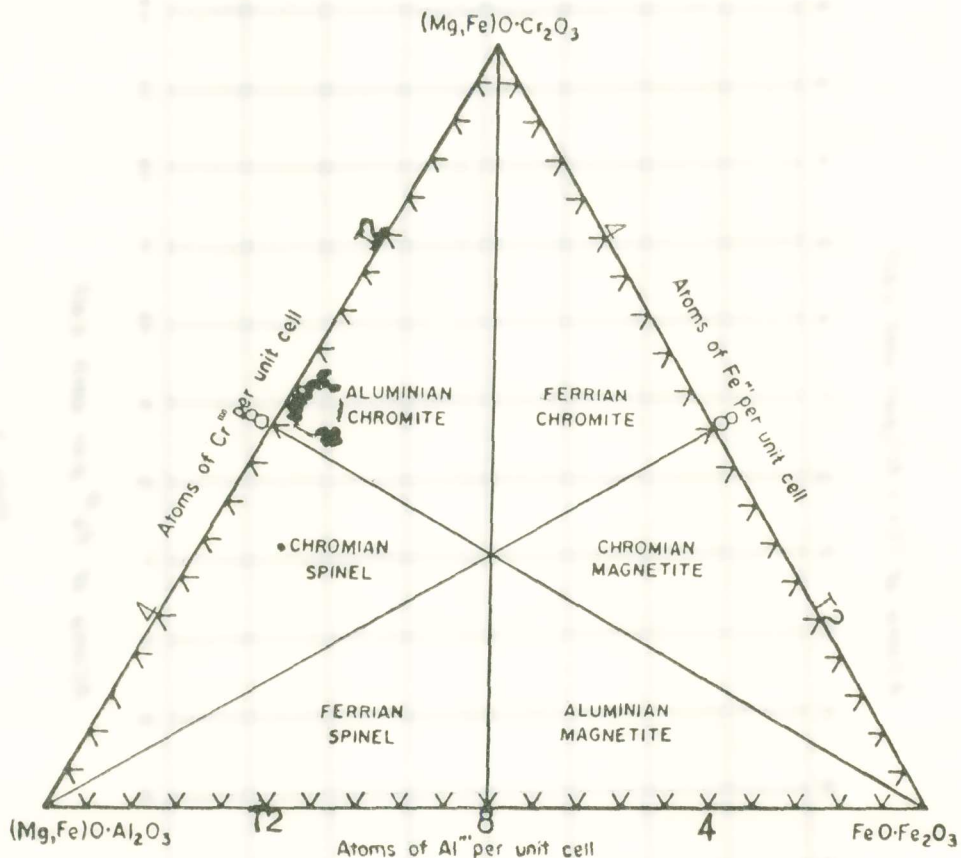
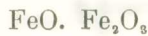
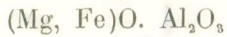
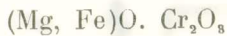
'Αριθμὸς δισθενῶν καὶ τρισθενῶν κατιόντων κατὰ κυψελίδα,
τῶν ἀναλυθέντων χρωμιτῶν "Οθρυος".

Αριθ. ἀναλύσεως	Cr	Al	Fe ³⁺	Fe ²⁺	Mg	Mn
1.	8.74	7.14	0.42	2.73	5.21	0.06
2.	8.39	7.51	0.40	3.19	4.76	0.05
3.	8.52	7.42	0.06	2.25	5.72	0.03
4.	7.88	7.16	0.96	2.03	5.95	0.02
5.	8.74	6.53	0.73	2.21	5.77	0.02
6.	7.47	7.10	1.43	1.80	6.18	0.02
7.	5.49	8.90	1.61	2.42	5.86	0.02
8.	7.63	7.12	1.25	1.99	5.99	0.02
9.	7.74	6.86	1.40	2.48	5.80	0.02
10.	7.65	7.21	1.14	2.34	5.64	0.02
11.	8.49	7.34	0.47	3.14	4.70	0.16
12.	8.44	7.72	0.44	2.57	5.28	0.15
13.	8.47	7.35	0.48	2.93	4.91	0.16
14.	8.91	6.96	0.43	3.16	4.82	0.02
15.	8.96	6.85	0.49	3.02	4.92	0.06
16.	9.11	6.71	0.48	3.28	4.54	0.18

Εἰς τὸ διάγραμμα τοῦτο τὰς 6 κορυφὰς τοῦ πρίσματος κατέχουν αἱ ἐνώσεις:
 FeO. Cr₂O₃ (ferro-chromite - σιδηροχρωμίτης)
 FeO. Al₂O₃ (hercynite - ἔρκυνίτης)
 FeO. Fe₂O₃ (magnetite - μαγνητίτης)
 MgO. Cr₂O₃ (magnesiochromite - μαγνησιοχρωμίτης)
 MgO. Al₂O₃ (spinel - σπινέλιος)
 MgO. Fe₂O₃ (magnesioferrite - μαγνησιομαγνητίτης)



β) Εἰς τριγωνικὸν διάγραμμα, κατὰ Stevens. Πρόκειται περὶ διαγράμματος σχήματος ἴσοσκελοῦς τριγώνου, διηρημένου εἰς 6 πεδία (Εἰκ. 3). Τὰς κορυφὰς τοῦ τριγώνου κατέχουν αἱ ἐνώσεις:



Εἰκὼν 3

Ἐκ τῶν ὧς ἀνω διαγραμμάτων καθίσταται σαφὲς ὅτι:

- α) Εἰς τὸ τριγωνικὸν πρᾶσμα συνθέσεως τῶν σπινελίων (Εἰκ.2) αἱ προβολαὶ τῶν ἀναλυθέντων χρωμιτῶν "Οθρυος περιορίζονται εἰς τὴν περιοχὴν τῶν $(Mg, Fe)O \cdot (Cr, Al)_2O_3$, ἐγγύτερον μάλιστα πρὸς τὴν περιοχὴν $MgO \cdot (Cr, Al)_2O_3$ καὶ σαφῶς μακρὰν τοῦ πεδίου τῶν $(Mg, Fe)O \cdot Fe_2O_3$.

β) Εἰς τὸ τριγωνικὸν διάγραμμα (Εἰκ. 3) οἱ ἀναλυθέντες χρωμῖται προβάλλονται ἐντὸς τοῦ πεδίου τῶν ἀργιλιούχων χρωμιτῶν (Aluminian Chromites).

ΑΝΑΛΟΓΙΑΙ ΤΩΝ ΑΚΡΑΙΩΝ ΜΕΛΩΝ

Τὰ ἀκραῖα μέλη, ἐπὶ τῇ βάσει τῶν ὁποίων εἶναι δυνατὸν νὰ ἐκφρασθῇ ἡ κρυσταλλοχημικὴ σύνθεσις τῶν χρωμιτῶν, εἶναι τὰ κάτωθι:

$MgO \cdot Al_2O_3$ σπινέλιος

$MgO \cdot Cr_2O_3$ μαγνησιοχρωμίτης

$FeO \cdot Cr_2O_3$ σιδηροχρωμίτης

$FeO \cdot Fe_2O_3$ μαγνητίτης

1.— *Αναλογίαι ἀκραίων μελῶν κατὰ κυψελίδα.*

Ἐχουν ἥδη διερευνηθῆ καὶ ἀποδοθῆ αἱ κάτωθι σχέσεις, ἐπὶ τῇ βάσει τῶν ὁποίων ὑπολογίζονται τὰ ἀκραῖα μέλη κατὰ κυψελίδα:

Σπινέλιος $Al/2$

Μαγνησιοχρωμίτης $Mg-Al/2$

Σιδηροχρωμίτης $(Cr + Al)/2 - Mg$

Μαγνητίτης. Οὕτος λαμβάνεται δι’ ἀφαιρέσεως τοῦ ἀθροίσματος τῶν ὡς ἄνω ἀκραίων μελῶν ἀπὸ 8 μορ. βάρη, θεωρούμενα ὡς περιεχόμενον μιᾶς κυψελίδος.

Σημ. Τὰ στοιχεῖα Al , Mg , Cr σημαίνουν ἀντιστοίχως ἀτομα Al , Mg , Cr κατὰ κυψελίδα (Πίν. 7).

Αἱ ὑπολογισθεῖσαι ἀναλογίαι τῶν ἀκραίων μελῶν κατὰ κυψελίδα δίδονται εἰς τὸν Πίνακα 8.

Π Ι Ν Α Ξ 8

Αναλογίαι ἀκραίων μελῶν κατὰ κυψελίδα.

Αρ. ἀριθ. ἀναλύσεως	Σπινέλιος $MgO \cdot Al_2O_3$	Μαγνησιοχρωμίτης $MgO \cdot Cr_2O_3$	Σιδηροχρωμίτης $FeO \cdot Cr_2O_3$	Μαγνητίτης $FeO \cdot Fe_2O_3$
1.	3.570	1.640	2.730	0.060
2.	3.755	1.005	3.190	0.050
3.	3.710	2.010	2.250	0.030
4.	3.580	2.370	1.570	0.480
5.	3.265	2.505	1.865	0.365
6.	3.550	2.630	1.105	0.715
7.	4.450	1.410	1.335	0.805
8.	3.560	2.430	1.385	0.625
9.	3.430	2.370	1.500	0.700
10.	3.605	2.035	1.790	0.570
11.	3.670	1.030	3.215	0.085
12.	3.860	1.420	2.650	0.070
13.	3.675	1.235	3.000	0.090
14.	3.480	1.340	3.115	0.065
15.	3.425	1.495	2.985	0.095
16.	3.355	1.185	3.370	0.090

2.— Ἐκατοστιαι ἀναλογίαι ἀκραίων μελῶν.

Αἱ ἐκατοστιαι ἀναλογίαι τῶν ἀκραίων μελῶν εἶναι δυνατὸν γὰρ ἀποδοθοῦν :

α) ὡς ἐκατοστιαι μοριακαι ἀναλογίαι (formula percentage).

β) ὡς ἐκατοστιαι κατὰ βάρος ἀναλογίαι (weights percentage).

Αἱ ἐκατοστιαι μοριακαι ἀναλογίαι ὑπολογίζονται διὰ πολλαπλασιασμοῦ τῶν ἀντιστοίχων ἀναλογιῶν τῶν ἀκραίων μελῶν κατὰ κυψελίδα (Πίν. 8) ἐπὶ 100 καὶ διαιρέσεως διὰ τοῦ 8.

Π Ι Ν Α Ξ 9

Ἐκατοστιαι μοριακαι ἀναλογίαι τῶν ἀκραίων μελῶν.

Αὔξ. ἀριθ. ἀναλύσεως	Σπινέλιος $MgO \cdot Al_2O_3$	Μαγνησιοχρωμίτης $MgO \cdot Cr_2O_3$	Σιδηροχρωμίτης $FeO \cdot Cr_2O_3$	Μαγνητίτης $FeO \cdot Fe_2O_3$
1.	44.62	20.50	34.13	0.75
2.	46.94	12.56	39.88	0.62
3.	46.38	25.42	28.12	0.38
4.	44.75	29.63	19.62	6.00
5.	40.81	31.32	23.31	4.56
6.	44.38	32.88	13.81	8.93
7.	55.62	17.63	16.69	10.06
8.	44.50	30.38	17.31	7.81
9.	42.88	29.62	18.75	8.75
10.	45.06	25.44	22.37	7.13
11.	45.88	12.87	40.19	1.06
12.	48.25	17.75	33.13	0.87
13.	45.94	15.44	37.50	1.12
14.	43.50	16.75	38.94	0.81
15.	42.81	18.69	37.31	1.49
16.	44.94	14.81	42.42	1.43

Π Ι Ν Α Ξ 10

Ἐκατοστιαι κατὰ βάρος ἀναλογίαι τῶν ἀκραίων μελῶν.

Αὔξ. ἀριθ. ἀναλύσεως	Σπινέλιος $MgO \cdot Al_2O_3$	Μαγνησιοχρωμίτης $MgO \cdot Cr_2O_3$	Σιδηροχρωμίτης $FeO \cdot Cr_2O_3$	Μαγνητίτης $FeO \cdot Fe_2O_3$
1.	35.07	21.78	42.20	0.95
2.	36.76	13.30	49.14	0.80
3.	37.04	27.43	35.34	0.49
4.	35.67	31.93	24.62	7.78
5.	32.07	33.27	28.83	5.83
6.	35.47	35.53	17.37	11.63
7.	45.56	19.52	21.51	13.41
8.	35.47	32.73	21.66	10.14
9.	33.85	31.62	23.29	11.24
10.	35.69	27.24	27.89	9.18
11.	35.77	13.57	49.31	1.35
12.	38.35	19.08	41.44	1.13
13.	35.99	16.35	46.23	1.43
14.	33.79	17.59	47.59	1.03
15.	33.26	19.63	45.64	1.50
16.	32.24	15.39	50.96	1.41

Αἱ ἑκατοστιαῖαι κατὰ βάρος ἀναλογίαι ὑπολογίζονται διὰ πολλαπλασιασμοῦ τῶν ἀντιστοίχων ἀναλογιῶν τῶν ἀκραίων μελῶν κατὰ κυψελίδα (Πίν. 8) ἐπὶ τὸ μοριακὸν βάρος καὶ λογισμοῦ τοῦ ἀθροίσματος ὡς 100.

Αἱ ὑπολογισθεῖσαι ἑκατοστιαῖαι ἀναλογίαι τῶν ἀκραίων μελῶν δίδονται εἰς τοὺς Πίνακας 9 καὶ 10.

ΠΕΡΙΛΗΨΙΣ — ΣΥΜΠΕΡΑΣΜΑΤΑ

Ἐπὶ τῇ βάσει τῶν ἥδη ἀνωτέρω ἐκτεθέντων συνάγονται τὰ κάτωθι:

- 1.— Οἱ χρωμῖται τῆς "Οθρυος εἶναι πλούσιοι ἀφ' ἑνὸς μὲν εἰς Cr_2O_3 καὶ Al_2O_3 , ἀφ' ἑτέρου δὲ εἰς MgO καὶ FeO .
- 2.— Ὡς σπάνια στοιχεῖα ἀνεγνωρίσθησαν: V, Cu, Co, Zn, Mo, As, In, Ti.
- 3.— Ἡ σχέσις Cr/Fe κυμαίνεται μεταξὺ 2.14 καὶ 3.60 μὲ μέσην τιμὴν 2.47.
- 4.— Ἡ σχέσις $\text{R}''/\text{O}/\text{R}_2''/\text{O}_3$ κυμαίνεται περὶ τὴν τιμὴν 0.884.
- 5.— Αἱ ἀναλογίαι εἰς mol % διὰ τὰ ὀξείδια FeO : MgO : MnO εἶναι 32 : 67.2 : 0.8, ἐνῷ διὰ τὰ ὀξείδια Cr_2O_3 : Al_2O_3 : Fe_2O_3 εἶναι 50.9 : 45.3 : 3.8.
- 6.— Διὰ λογισμοῦ τοῦ περιεχομένου τῆς κυψελίδος ἀποδεικνύεται ὅτι ἡ συμμετοχὴ τῶν κατιόντων ἀκολουθεῖ τὴν σειρὰν $\text{Cr} > \text{Al} > \text{Mg} > \text{Fe}^{2+} > \text{Fe}^{3+} > \text{Mn}$.
- 7.— Ἐπὶ τῇ βάσει τῶν κατὰ Stevens προβολῶν ἀποδεικνύεται ὅτι οἱ χρωμῖται τῆς "Οθρυος προβάλλονται α') εἰς τὴν περιοχὴν τῶν $(\text{Mg}, \text{Fe})\text{O}$. $(\text{Cr}, \text{Al})_2\text{O}_3$ ἐγγύτερον μάλιστα τῶν MgO . $(\text{Cr}, \text{Al})_2\text{O}_3$ (Εἰκ. 2), β') ἐντὸς τοῦ πεδίου τῶν ἀργιλιούχων χρωμιτῶν (Εἰκ. 3).
- 8.— Αἱ ἀναλογίαι τῶν ἀκραίων μελῶν, τὰ ὅποια μετέχουν εἰς τὴν σύνθεσιν τῶν χρωμιτῶν, δίδονται, α') εἰς ἀτομα κατὰ κυψελίδα, β') εἰς ἑκατοστιαίας ἀναλογίας, εἰς τοὺς Πίνακας 9 καὶ 10.

ΒΙΒΛΙΟΓΡΑΦΙΑ

- 1) BRAGG, W.H.: The structure of the spinel group of crystals. Phil. Mag., vol. 30, p. 305, 1915.
- 2) FISHER, L.W.: Chromite: its mineral and chemical composition. Amer. Min., vol. 14, p. 341, 1929.
- 3) HIESSLEITNER, G.: Serpentin- und Chromerzgeologie der Balkanhalbinsel und eines Teiles von Kleinasien. Jb. geolog. Bundesamt, Wien, 1951-52.
- 4) ΜΑΡΙΝΟΥ, Γ.: Συνθῆκαι γενέσεως τοῦ ὀρυκτοῦ οὐβαροβίτου ἐντὸς χρωμιτικοῦ κοιτάσματος παρὰ τὸν Δομοκόν. Πρακτ. Ἀκαδ. Ἀθηνῶν, 25, 1950.

- 5) ΜΟΥΣΟΥΛΟΥ, Λ. : Ειδικός ταξινομητής έμποδιζομένης καταβυθίσεως εἰς τὰς ἐγκαταστάσεις ἔμπλουτισμοῦ τῶν μεταλλείων Κοζάνης. 'Αθῆναι 1957.
 - 6) PALACHE, C. - BERMAN, H. - FRONDEL, C. : Dana's system of Mineralogy, Vol. I, Wiley, New York, 1951.
 - 7) ΠΑΝΑΓΟΥ, Α. : Συμβολὴ εἰς τὴν μελέτην τῶν ἑλληνικῶν χρωμιτῶν. Γεωλ. Χρον. Ἑλλην. Χωρῶν, 18, 1965.
 - 8) SIMPSON, E.S. : A graphic method for the comparison of minerals with four variable components forming two isomorphous pairs. Min. Mag., vol. 19, p. 99, 1920.
 - 9) STEVENS, R.E. : Composition of some chromites of the western hemisphere. Am. Min., vol. 29, p. 1, 1944.
 - 10) TSAKONA, A. : Statistique de l'industrie minière de la Grèce (1940-46). Athènes 1948.
 - 11) WINCHELL, A.N. : The spinel group. Am. Min., vol. 26, p. 422, 1941.
-

'Η ἐργασία αὕτη ἐξεπονήθη εἰς τὸ πλαίσιον ἀναληφθείσης πρὸς τὸ Βασιλικὸν "Ιδρυμα" Ἐρευνῶν ὑποχρεώσεως ὑπὸ τοῦ Διευθυντοῦ τοῦ Ἐργαστηρίου Ὁρυκτολογίας καὶ Πετρολογίας τοῦ Πανεπιστημίου Ἀθηνῶν Καθηγητοῦ κ. Ἀναστασίου Γεωγυάδη, τὸν δόπον θερμῶς εὐχαριστῶ καὶ ἀπὸ τῆς θέσεως ταύτης. Εὐχαριστῶ ἐπίσης θερμῶς τὴν Ἐταιρείαν «Μεταλλευτικὴν Ἐπιχειρήσεις» A. Ἀποστολίδην» διὰ τὴν παραχώρησιν ἐξ (6) πλήρων χημικῶν ἀναλύσεων χρωμιτῶν.

Z U S A M M E N F A S S U N G

Auf Grund von 16 vollständigen chemischen Analysen und 9 Spektralanalysen wird ein Beitrag zur Kristallchemie und chemischen Zusammensetzung der Chromite von Othrys gegeben.

Der wechselnde Chemismus der Chromite wird zunächst durch die einzelnen Bauglieder von R_2O und R_3O_8 aufgezeigt.

Die Mengenverhältnisse der Spinel-Endglieder pro Elementarzelle wurden a) in mol - Prozent und b) in Gewichts - Prozent gegeben, sowie tabellarisch zusammengefasst.

Der Gehalt an zweiwertigen und dreiwertigen Kationen pro Elementarzelle ist errechnet und a) im Spinel - Dreieck - Prisma, nach Stevens b) im Spinel - Dreieck - Diagramm, nach Stevens, projiziert. Den Diagrammen ist zu entnehmen, dass die Chromite von Othrys als Aluminiumchromite anzusprechen sind.
